

參 考 文 獻

1. A. Chabenat et R. Martin: La mesure des contraintes résiduelles, Les mémoires techniques du CETIM N° 24, (1978)
2. Osamu Doi and Kouichi Kataoka: Measurement of Principal Residual Stresses in orthotropic plate when Their Directions are unknown, Bulletin of the JSME, Vol. 16, No. 102, Dec., (1973)
3. H. V. Cordiano and V. L Salerno: Study of Residual Stress in Linearly varying Biaxial Stress Fields, Experimental Mechanics, Jan., (1969)
4. B.R. Lake, F.J. Appl and C.W. Bert: An Investigation of the Hole-drilling Technique for Measuring Planar Residual Stress in Rectangularly orthotropic Materials, Experimental Mechanics, June, (1970)
5. A.M. Nawar, K. McLachlan and J. Shewchuck: A Modified Hole-drilling Technique for Determining Residual Stresses in Thin Plates, Experimental Mechanics, June, (1976)
6. Bhagwati P. Gupta: Hole-drilling Technique-Modifications in the Analysis of Residual Stresses, Experimental Mechanics, June, (1973)
7. N. Tebedge, G. Alpsten and L. Tall: Residual-Stress Measurement by the sectioning Method, Experimental Mechanics, Feb., (1973)
8. S.P. Timoshenko and J.N. Goodier: theory of Elasticity, 3rd Ed., McGraw-Hill, P. 91, (1970)
9. 川田雄外共編: 應力測定マニュアル, オーム社, 東京, pp. 363~367, (1972)
10. 西田正考: 應力集中・森北出版株式会社, 東京, pp. 258~260, (1967)
11. 韓應教: 스트레인 케이지, 普成文化社, 서울, pp. 40~52, (1983)
12. 廉永夏外共譯: 固体力學의 基礎와 應用, 東明社, 서울, pp. 139~147, (1980)

Scherbius System에 있어서의 誘導電動機特性 改善에 關한 研究

鄭 噴 烈

A Study on the Characteristics Improvement of
the Induction Motor in Scherbius System

Kyung-yul Chung

Abstract

記號說明

1. 序論

2. 整流器를 사용한 Scherbius System에 있어서의 理論

2.1 3相全波 整流回路에 對한 考察

2.2 整流器가 結合된 Scherbius System의 빼터圖

3. 實驗裝置 및 實驗方法

4. 實驗結果 및 考察

5. 結論

參考文獻

Abstract

Recently, Scherbius system with rectifier came to be used for speed control of induction motor. And power factor of induction motor, which is naturally low, becomes lower and output of induction motor becomes smaller when induction motor is controlled by Scherbius system. It is desirable for these characteristics to be improved. So we tried to use capacitor connected in parallel with secondary circuit of induction motor when motor is controlled by Scherbius system. And we confirmed theoretically and experimentally that many kinds of such characteristics as power factor, output and primary copper loss of motor fairly improved.

記 號 說 明

以下의 記號說明에 있어서 “蓄電機器併用時”란 말은 整流器가 結合된 Scherbius System에 있어서 2次回路에 並列로 蓄電器를 連結한 경우이고, 蓄電器를 使用하지 않은 경우는 “蓄電器無併用時”로 表示한다.

V'_1 : 蓄電器無併用時의 誘導電動機 1 次 1 相當供給電壓 [V]

V_1 : 蓄電器併用時의 誘導電動機 1 次 1 相當供給電壓 [V]

R_1 : 誘導電動機 1 次 1 相當 抵抗 [Ω]

X_1 : 誘導電動機 1 次 1 相當 리액턴스 [Ω]

E_1 : 誘導電動機 1 次 1 相當 誘導起電力 [V]

E_2 : 誘導電動機停止時 2 次 1 相當 誘導起電力 [V]

ϕ : 誘導電動機의 一極當迴轉磁束 [wb]

I_0 : 誘導電動機의 勵磁電流 [A]

i'_2 : 整流器入力電流의 瞬時值 [A]

I'^e : 蓄電器無併用時 誘導電動機의 1 次負荷電流 [A]

I'^1 : 蓄電器無併用時 誘導電動機의 1 次電流 [A]

θ'^1 : 蓄電器無併用時 誘導電動機의 1 次力率角 [deg]

S' : 蓄電器無併用時 誘導電動機의 슬립

R_2 : 誘導電動機의 2 次 1 相當 抵抗 [Ω]

X_2 : 誘導電動機의 2 次 1 相當 리액턴스 [Ω]

V_2 : 誘導電動機의 2 次端子電壓 [V]

- V_{2s} : 誘導電動機의 2 次 1 相當 端子電壓 [V]
- U : 整流器의 電流重置角 (deg)
- I'_{2r} : 電流重置角 U 를 無視했을 때의 i'_{2r} 的 實効值 (A)
- I'_{2e} : 電流重置角 U 를 考慮했을 때의 i'_{2e} 的 實効值 (A)
- θ'_{2r} : 蓄電器無併用時의 誘導電動機의 2 次力率角 (deg)
- ϕ : I'_{2r} 가 V_{2s} 보다 뒤지는 角 (deg)
- I_2 : 蓄電器併用時 誘導電動機의 2 次合成電流 (實効值) (A)
- θ_2 : 蓄電器併用時 誘導電動機의 2 次力率角 (deg)
- X_c : 1 次供給電壓의 周波數에 對한 蓄電器의 리액턴스
(誘導電動機 2 次端子에서 본 等價리액턴스) (Ω)
- E_d : 3 相整流器 出力電壓 (V)
- R_d : diode 의 1 個當의 噴方向抵抗 (Ω)
- I_d : 3 相整流器의 出力電流 (A)
- R_a : 直流電動機의 電機子抵抗 (Ω)
- L : 直流電動機의 電機子인덕턴스 (H)
- E_e : 直流電動機의 逆起電力 (V)
- P_i : 誘導電動機 1 次入力 (W)
- P_{re} : 誘導電動機 1 次銅損 (W)
- V_3 : 直流發電機의 端子電壓 (V)
- I_3 : 直流發電機의 負荷電流 (A)
- P_3 : 直流發電機의 出力 (W)
- P_ℓ : 直流發電機의 損失 (W)
- P_o : 誘導電動機의 出力 (W)

DCG : 直流發電機

IM : 誘導電動機

DCM : 直流電動機

IG : 誘導發電機

SL : 3相單捲變壓器

α : 여자전류의 鐵損角

β : \dot{E}_2 와 \dot{V}_{2s} 와의 相差角

γ : \dot{I}'_2 와 \dot{I}_2 와의 相差角

ϕ : 빼터 \dot{I}'_2 의 端點에서 \dot{I}_2 에 平行하게 그은선이 \dot{I}'_2 와의 交角

δ : 1次勵磁電壓과 1次供給電壓과의 相差角



I. 序論

誘導電動機는 1. 構造가 簡單하고 價格이 低廉이며 保守가 簡單하기 때문에 陸上에 서나 船舶에 서나 電動力應用 分野에 가장 多이 使用하고 있다. 그러나 2차 速度制御方法이 他電動機에 비하여 까다롭고 力率이 나쁜 것이 欠點이다. 그런데 近來에 와서 各種 半導体素子가 開發된 後 整流器와 테이리스터 (Thyristor) 等의 靜止裝置를 結合한 셀비우스시스템 (Scherbius System)이 速度制御方式으로 많이 使用하게 되었다.^{12) 13)}

이것은 슬립 (slip) 增大로 因해서 2次力率이 나빠지고, 整流器가 結合됨으로써 2次電流가 2次 1相當 端子電壓 보다도 位相이若干 뒤지게 되므로 그 力率이 더욱 나빠진다. 即, 速度制御를 하지 않을 때 1次力率은 整流器가 結合된 셀비우스시스템에 있어서는 더욱減少됨으로¹⁴⁾ 이의 力率을 改善할 필요가 있다. 本研究는 그의 한 方法으로 誘導電動機이 2次回路에 蓄電器를 並列로 連結하는 方法을 試圖해 보았다.

이와같이 하면 蓄電器가 進電流를 取하기 때문에¹⁵⁾ 2次力率 따라서 1次力率이 改善되고 또 2次電流와 1次電流가 減少되기 때문에 2次電流가 定格電流가 될 때까지 負荷를 增加시킬 수 있으므로 誘導電動機의 出力도相當히 增加하고 또 1次電流의 減少로 因해서 1次銅損도 減少되는 等 여러 가지의 特性이 改善된다는 것이 論理的인 근거에 의하여 實驗的으로 確認하였다.

2. 整流器를 使用한 Scherbius System에 있어서의 理論

2.1 3相全波整流回路에 對한 考察

그림 5 와 같은 셀비우스 시스템 實驗裝置에 있어서 誘導電動機의
次의 等價回路는 그림 1 과 같다.

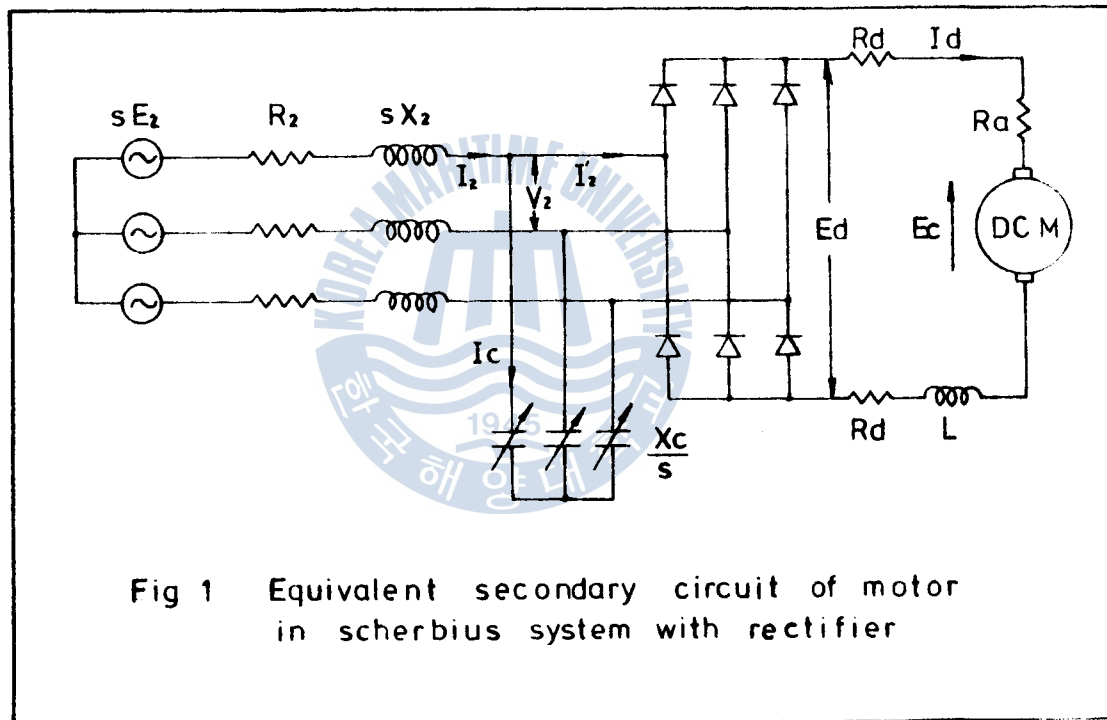


Fig 1 Equivalent secondary circuit of motor
in scherbius system with rectifier

그림 1 에 있어서 3相全波整流回路의 出力電壓은 그 脈動率이 6 % 이
서 ⁶⁾ 大端의 차으며 그 平均值은 入力電壓의 1.35 倍로 된다

$$\text{即}, E_d = 1.35 V_2$$

故로 3相整流回路의 出力電流도 거의 一定으로 되는데 그림 1 과 같으

원마우스 시스템에 있어서서는 이 出力回路에 直流電動機의 電機子捲線으로 因한 일정전압 분리하여 사용으로 出力電流는 一定電流로 볼 수 있다. 故로 그 값을 I_d 로 하여 整流回路의 交流側 入力電流 i_d' 의 波形은 그림 2와 같이 되고, 電流計算은 簡單히 하기 为解此 電流車骨角 U 를無視하면 그림 3과 같이 된다. 그의 波形은 그림 3과 같다. 보고의 것을 Fourier 級數로 展開하면

$$i_d' = a_1 \sin \theta + a_3 \sin 3\theta + a_5 \sin 5\theta + \dots + a_n \sin n\theta + \dots$$

$$\text{但}, a_n = \frac{4}{\pi} \int_{-\frac{\pi}{6}}^{\frac{\pi}{6}} I_d \sin n\theta d\theta = \frac{4I_d}{n\pi} \cos \frac{n\pi}{6}$$

a_n 을 計算하면 i_d' 가 다음과 같이 展開된다.

$$i_d' = \frac{2\sqrt{3}}{\pi} Id \left\{ \sin \theta + \sum_{\ell=1,2,\dots}^{\infty} \frac{(-1)^\ell}{6\ell+1} \sin \theta (6\ell+1)\theta \right\}^{(1)}$$

電流車骨角 U 를 無視했을 때의 i_d' 의 實効值 I_d' 는 다음과 같이 된다.

$$I_d' = \sqrt{\frac{1}{\pi} \int_{-\frac{\pi}{6}}^{\frac{\pi}{6}} Id^2 d\theta} = \sqrt{\frac{1}{\pi} (Id^2 \times \frac{2}{3}\pi)} \cdot \frac{\sqrt{6}}{3} Id \quad (2)$$

따라서 Diode의 抵抗電壓 降下量 無視하면 整流器의 交流側 入力과 直流側 出力を 같을 것이므로 交流側 入力의 等價力率를 $\cos \phi$ 로 하면 다음과 같은 關係가 成立한다.

$$\sqrt{3} V_2 I_d' \cos \phi = Ed Id$$

$$\cos \phi = \frac{Ed Id}{\sqrt{3} V_2 I_d'} = \frac{1.35 V_2 Id}{\sqrt{3} V_2 (\sqrt{6}/3) Id} = \frac{1.35}{\sqrt{2}} = 0.955 \quad (3)$$

故로 I_d' 가 誘導電動機 2次 1相端子電壓 V_{2s} 보다 一位相이 뒤지는 角 ϕ 는 다음과 같이 된다.

$$\phi = \cos^{-1} 0.955 = 17.3^\circ \dots \dots \dots \quad (4)$$

(2), (3), (4) 式은 整流回路에 있어서 電流重疊角 U 를 無視했을 때의 式인데 이것을 考慮했을 때는 이를 값이 어떻게 变하는 가를 생각해 보기로 한다. 그림 2에 있어서 i'_2 의 波形은 abcd와 같이 되며 曲線 ab를 $f_1(\theta)$ 로 表示하고 $f_2(\theta) = Id - f_1(\theta)$ 로 놓으면 $f_2(\theta)$ 는 曲線 ef 및 cd와 같은 모양으로 된다. 그러므로 (2) 式에서 計算한 I'_2 는 그 2 乘이 다음과 같이 된다.

$$\begin{aligned}
 (\mathbf{I}'_{z_2})^2 &= \frac{1}{\pi} \int \frac{\frac{5}{6}\pi}{\frac{\pi}{6}} \mathbf{Id}^2 d\theta = \frac{1}{\pi} \left[\int \frac{\frac{\pi}{6}+u}{\frac{\pi}{6}} \mathbf{Id}^2 d\theta + \int \frac{\frac{5}{6}\pi}{\frac{\pi}{6}+u} \mathbf{Id}^2 d\theta \right] \\
 &= \frac{1}{\pi} \left[\int \frac{\frac{\pi}{6}+u}{\frac{\pi}{6}} \left\{ f_1(\theta) + f_2(\theta) \right\}^2 d\theta + \int \frac{\frac{5}{6}\pi}{\frac{\pi}{6}+u} \mathbf{Id}^2 d\theta \right] \\
 &= \frac{1}{\pi} \left[\int \frac{\frac{\pi}{6}+u}{\frac{\pi}{6}} f_1^2(\theta) d\theta + \int \frac{\frac{5}{6}\pi}{\frac{\pi}{6}+u} \mathbf{Id}^2 d\theta + \int \frac{\frac{\pi}{6}+u}{\frac{\pi}{6}} f_2^2(\theta) d\theta \right] \\
 &\quad + \frac{1}{\pi} \int \frac{\frac{\pi}{6}+u}{\frac{\pi}{6}} 2f_1(\theta)f_2(\theta) d\theta \\
 &= \frac{1}{\pi} \int \frac{\frac{5}{6}\pi+u}{\frac{\pi}{6}} f_2^2 d\theta + \frac{2}{\pi} \int \frac{\frac{\pi}{6}+u}{\frac{\pi}{6}} f_1(\theta)f_2(\theta) d\theta \\
 &= (\mathbf{I}'_{z_0})^2 + \frac{2}{\pi} \int \frac{\frac{\pi}{6}+u}{\frac{\pi}{6}} f_1(\theta)f_2(\theta) d\theta
 \end{aligned}$$

故로, $(I'_{20})^2 = \frac{1}{\pi} \int_{-\frac{\pi}{6}}^{\frac{5\pi}{6}} i'^2 d\theta$ 는 電流重疊角 U 를考慮했을 때의 i'^2
의 實効值를 2 乘한 것으로서 $(I'^2)^2$ 보다若干 작다. 그러므로 電流

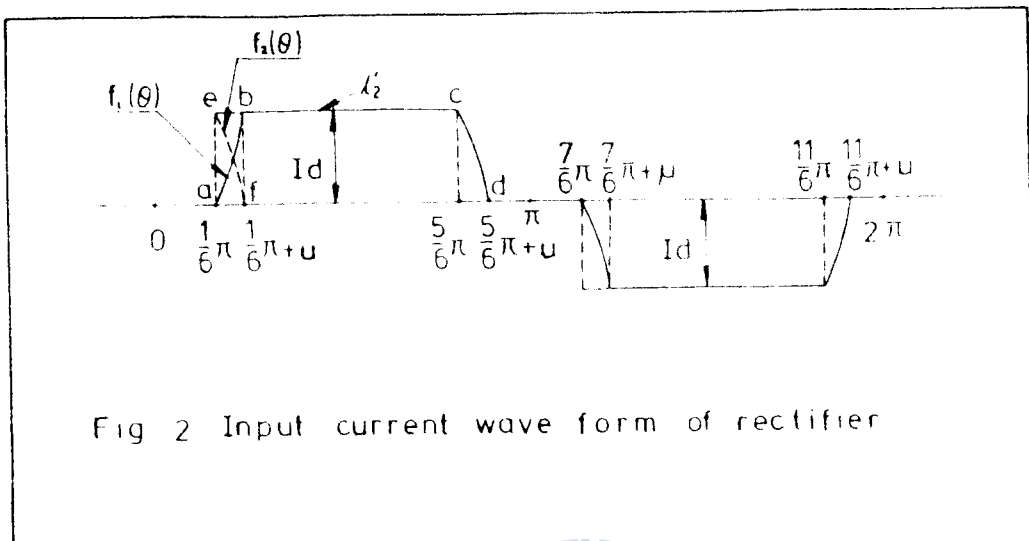
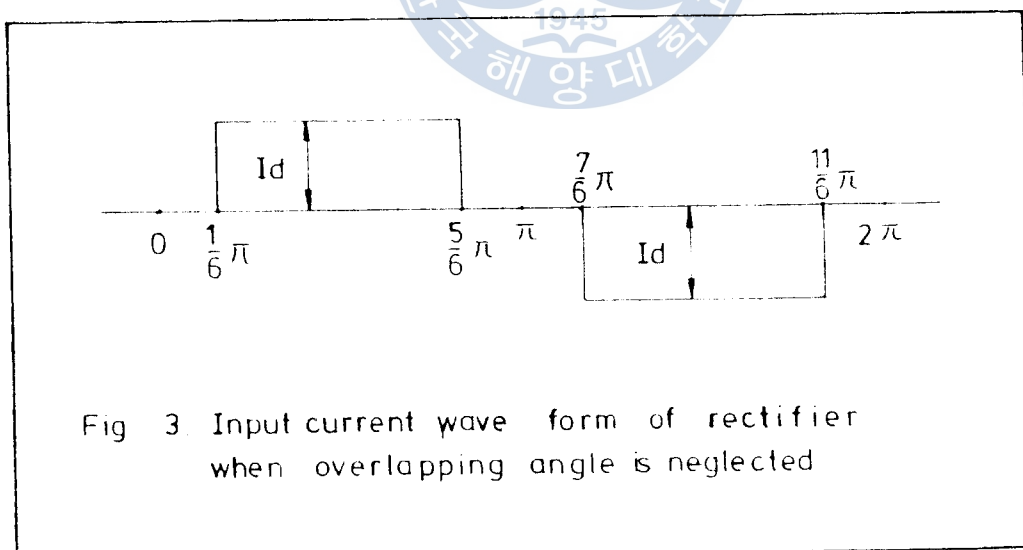


Fig. 2 Input current wave form of rectifier

Fig. 3 Input current wave form of rectifier
when overlapping angle is neglected

重疊角 U 를考慮했을 때의 i'_2 의 實効值 I'_{20} 는 (2)式보다若干 작아지고 따라서 整流回路에 있어서의 等價力率은 (3)式보다若干 커지고 等價率角 ϕ 는 (4)式보다若干 작아진다.

2 . 2 誘導電流機의 벡터圖

그림 1에 있어서

$$s\dot{E}_2 = \dot{V}_{2s} + i_2 (R_2 + j s X_2)$$

$$Ed = 1.35 V_2, \quad I'_{20} = \frac{\sqrt{6}}{3} Id$$

$$Id = \frac{Ed - Ec}{Ra + 2Rd} = \frac{1.35 V_2 - Ec}{Ra + 2Rd} \quad \therefore I'_{20} = \frac{\sqrt{6}(1.35 V_2 - Ec)}{3(Ra + 2Rd)}$$

2次1相當端子電壓 \dot{V}_{2s} 를 基準 Vector로 取하면

$$I'_{20} = \frac{\sqrt{6}}{3} Id \epsilon^{j\phi} = \frac{\sqrt{6}(1.35 V_2 - Ec)}{3(Ra + 2Rd)} \cos \phi + j \frac{\sqrt{6}(1.35 V_2 - Ec)}{3(Ra + 2Rd)} \sin \phi$$

$$i_c = j \frac{s V_2}{\sqrt{3} X_c}$$

$$\dot{i}_2 = I'_{20} + i_c = \frac{\sqrt{6}(1.35 V_2 - Ec)}{3(Ra + 2Rd)} \cos \phi + j \left\{ \frac{s V_2}{\sqrt{3} X_c} - \frac{\sqrt{6}(1.35 V_2 - Ec)}{3(Ra + 2Rd)} \sin \phi \right\}$$

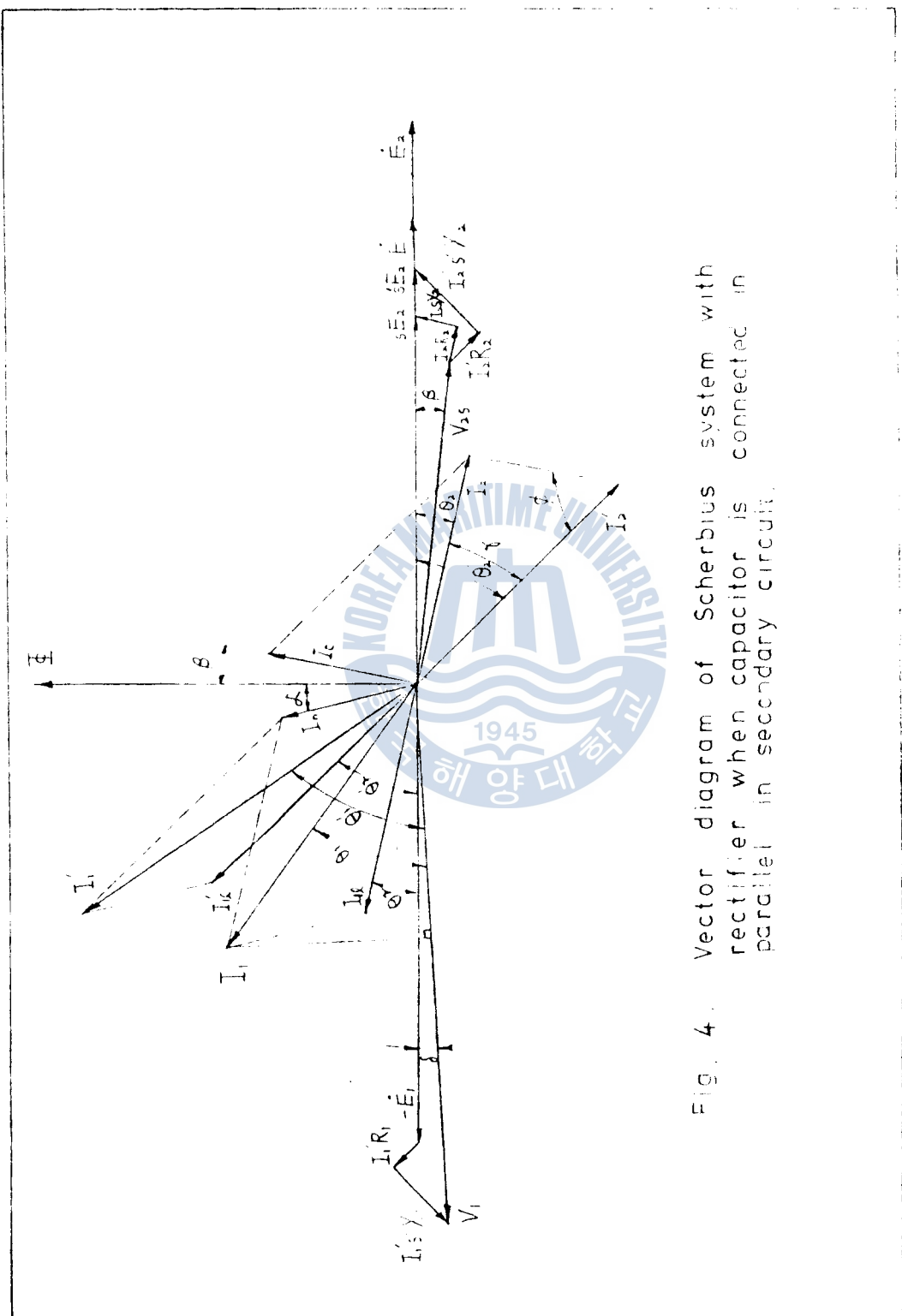
그러므로 整流器를 使用한 셀비우스 시스템의 2次回路에 蓄電器를 并列로 連結할때 Vector圖는 그림 4와 같이 된다. 이 Vector圖에 있어서 2次1相當端子電壓 V_{2s} 는 蓄電器를 插入했을 때若干 變動이 생길 것이다. 그림을 簡單히 하기 為해서 變動이 없는 것으로 했다.

그림 4에서 $\phi = 90^\circ - \theta'_{20} + \beta = \text{一定}$

$$\sin Y = \frac{i_c \sin \phi}{\sqrt{I'_{20}^2 + i_c^2 - 2 I'_{20} i_c \cos \phi}} \quad \dots \dots \dots \quad (5)$$

$$\theta_2 = \theta'_{20} - Y = \theta'_{20} - \sin^{-1} \frac{i_c \sin \phi}{\sqrt{I'_{20}^2 + i_c^2 - 2 I'_{20} i_c \cos \phi}} \quad \dots \dots \dots \quad (6)$$

$$\cos \theta_2 = \cos(\theta'_{20} - \sin^{-1} \frac{i_c \sin \phi}{\sqrt{I'_{20}^2 + i_c^2 - 2 I'_{20} i_c \cos \phi}}) \quad \dots \dots \dots \quad (7)$$



(5)式에서蓄電器容量이 커지면 I_0 가 커지므로 Γ 가 커진다. Γ 가 커지면 (6)式에서 2次力率角 θ_2 가 작아지고 2次力率이 좋아진다.

$$\text{또}, \quad I_1 \ell = \frac{I_1 \ell' \sin(90^\circ - \theta'_2 + \beta)}{\sin(90^\circ + \theta_2 - \beta)}$$

$$\therefore I_1 = \sqrt{I_0^2 + \left\{ \frac{I_1 \ell' \sin(90^\circ - \theta'_2 + \beta)}{\sin(90^\circ + \theta_2 - \beta)} \right\}^2 + \frac{2I_0 I_1 \ell' \sin(90^\circ - \theta'_2 + \beta) \cdot \cos(90^\circ - \theta_2 - \alpha)}{\sin(90^\circ + \theta_2 - \beta)}}, \quad (8)$$

$$\cos \theta_1 = \frac{I_0 \cos(90^\circ - \alpha + \delta) + I_1 \ell \cos(\theta_2 + \delta)}{I_1}$$

$$I_0 \cos(90^\circ - \alpha + \delta) + \frac{I_1' \ell \cos(\theta_2 + \delta) \cdot \sin(90^\circ - \theta'_2 + \beta)}{\sin(90^\circ + \theta_2 - \beta)}$$

$$\sqrt{I_0^2 + \left\{ \frac{I_1' \ell' \sin(90^\circ - \theta'_2 + \beta)}{\sin(90^\circ + \theta_2 - \beta)} \right\}^2 + \frac{2I_0 I_1' \ell' \sin(90^\circ - \theta'_2 + \beta) \cdot \cos(90^\circ - \theta_2 - \alpha)}{\sin(90^\circ + \theta_2 - \beta)}}, \quad (9)$$

(9)式은蓄電器를 사용했을 때의 1次力率을 나타내는 式이며 이式에서 $\theta_2 = \theta'_2$ 를 하면蓄電器를 사용하지 않을 경우의 1次力率이 된다.蓄電器容量을零에서漸次增加시키면 θ_2 는 θ'_2 에서漸次減少해가며 이때 (9)式의 값은漸次增大해감을 알 수 있다. 即,蓄電器容量을增加시키면 1次力率이漸次 좋아진다는 것을 알 수 있다. 또 fig. 4에서蓄電器 使用時 2次電流를 求하여 보면 (10)式과 같다.

$$I_2 = \sqrt{I_2'^2 + I_c^2 - 2I_2' I_c \cos(90^\circ - \theta'_2 + \beta)} \quad \dots \dots \dots \quad (10)$$

(10)式을 變形하면

$$I_2 = \sqrt{I_2'^2 + \left\{ I_2' \cos(90^\circ - \theta'_2 + \beta) \right\}^2 + \left\{ I_c - I_2' \cos(90^\circ - \theta'_2 + \beta) \right\}^2} \text{로 } \rightarrow$$

모로 $I_c < I_2' \cos(90^\circ - \theta'_2 + \beta)$ 되는範圍內에 있어서는 I_c 가 커질수록 I_2 는 작아지고 $I_c > I_2' \cos(90^\circ - \theta'_2 + \beta)$ 되는範圍內에서 I_c 가 커짐수록 I_2 는 커진다. 即,蓄電器容量이 커질수록 I_2 는 커진다.

$|I_2| \geq |I_c - I_2' \cos(90^\circ - \theta'_2 + \beta)|$ 時 I_2 는 最小值 $\sqrt{(I_2'^2 + \left\{ I_2' \cos(90^\circ - \theta'_2 + \beta) \right\}^2)}$ 를 갖게 된다.

I. $(- 21^\circ \sim 708^\circ + \theta_2)$ (II)

(II) 式의 成立する 前提內에 依하와는蓄電器 使用時(即 2次電流 I_2 가蓄電器를 使用하게 되는 때의 2次電流 I_2)은 전계 전류는 다음과 같다.

由 (8)式에 依하면蓄電器容量이 전류 I_2 는 전류가므로 2차전류가 전류를 줄여 줄 수 있다. 即, 텔미우스 차스팅에 依해 전速 control 할 때 誘導電動機 2次에蓄電器를 并列로 連結하여 使用하면 功率가相當히 改善된다. 1次電流와 2次電流가 同시에減少되는 것은 전류가 定格電流로 問제까지 負荷를 增加시킬 수 있으므로 出力이 增加되므로 1次電流은 定格電流에 未達되었을 銅損이 차아서서 功率이 좋아지는 等 여러가지 特성이改善된다.



3. 實驗裝置 및 實驗方法

本研究에서 使用된 實驗裝置의 結線圖는 그림 5 와 같으며 이에 使用된 供試電動機의 定格은 다음과 같다.

出力 2.2 (KW), 1次電壓 220 (V), 1次電流 8.6 (A), 相數 3,

周波數 60 (Hz), RPM 1720, 2次電壓 260 (V), 2次電流 5.2 (A)

誘導電動機 2次에 並列로 連結한 進相用蓄電器로는 200 (V), 60 (Hz),

210 (μ F) 인 MP蓄電器 3個를 使用하였고 容量 C_0 , 리액턴스 X_{C0} 인 蓄電器에 印加되는 電壓을 Slidac에 依해서 加減해주면 入力側에서 본容量 C 와 리액턴스 X_C 는 等價的으로 다음과 같이 加減된다.

$$C = \frac{C_0}{A^2}, \quad X_C = A^2 X_{C0}$$

但, A 는 Slidac의 變壓比이다.

上記한 바와같은 原理에 依해서 進相用蓄電器의 容量을 90 (μ F), 130 (μ F), 170 (μ F), 210 (μ F)로 等價變換하여 實驗하였다. 2次勵磁電壓으로는 60 (V), 90 (V), 120 (V)의 3 가지 電壓에 對하여 實驗하였고 供試電動機의 負荷로서는 直流發電機를 使用하였다. 實驗方法은 各2次勵磁電壓에 對해서 電動機負荷를 調整하여 全負荷運轉하고 있을 때에 그 容量의 蓄電器를 2次回路에 並列로 插入하면 2-2項에서 記述한 바와 같이 2次電流 I_2 가 若干 減少할 것이므로 이것이 定格電流로 되도록 負荷를 增加시키고 그 때에 各 電壓과 電流, 力率 等을 測定하여 電動機의 入力, 出力 等을 計算하고 이것들이 蓄電器容量 變化에 따라서 어떻게 變化하는지를 2次勵磁電壓別로 調査하였다. 誘導電動機의 出力を

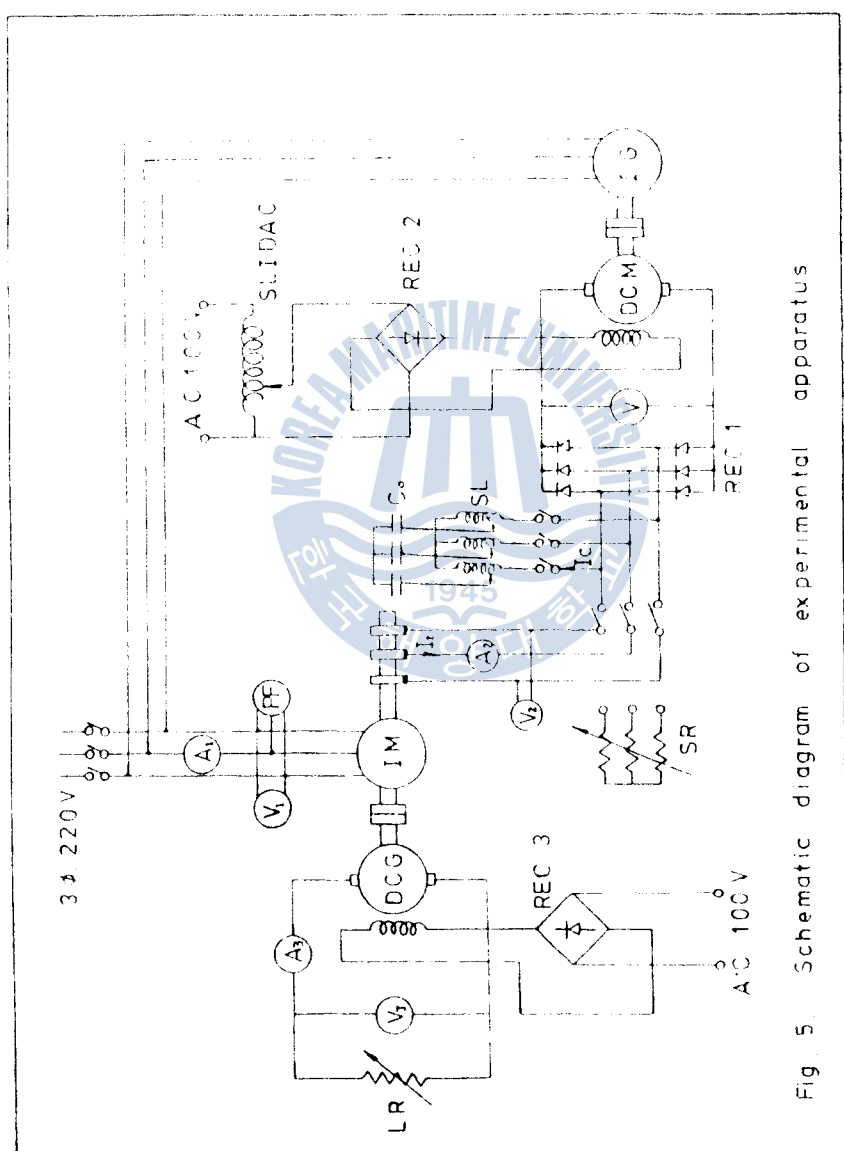


Fig. 5 Schematic diagram of experimental apparatus

4. 實驗結果 및 考察

먼저 直流發電機의 損失을 求하기 為해서 이것을 直流電動機로 無負荷運轉하여 入力を 測定한 結果는 第1表와 같다. 이 1表의 入力은 直流發電機의 各運轉電壓에 對한 鐵損과 機械損의 合으로 될 것이다.

第1表 直流發電機를 直流電動機로서 無負荷運轉時의 入力

電壓(V)	54	55	57	62	64	65	66	72	73	74
電流(A)	3.75	3.65	3.55	3.65	3.68	3.6	3.65	3.7	3.65	3.72
入力(W)	203	201	202	226	236	234	241	266	266	275

第1表와 같은 無負荷試驗時의 入力과 電機子抵抗 $R_a = 0.2 \Omega$ 에 依한 銅損을 合하여 直流發電機의 全損失 P_E 를 計算하고 이것을 直流發電機의 出力 $P_3 = V_3 I_3$ 에 加算하면 誘導電動機의 出力 P_0 를 求할 수 있다.

그림 5와 같이 整流器가 結合된 셀비우스 시스템에 있어서 電動機 2次回路에 並列로 蓄電器를 連結하여 2次勵磁電壓과 蓄電器容量을 變化시키면서 實驗한 結果 各 測定值 및 計算值는 第2表와 같다.

第2表에 있어서 1次銅損 P_{1e} 는 20°C에 對한 1次1相當Y抵抗 $R_{20} = 0.66 \Omega$ 을 測定하여 이것을 75°C에 對한 值으로 換算한 $R_{75} = 0.803 \Omega$ 을 使用해서 計算한 것이다. 第2表에 依해서 2次回路에 並列로 連結한 蓄電器容量에 따라서 1次力率, 電動機出力 및 1次銅損이 어떻게 變化하는지를 曲線으로 表示하면 그림 6, 그림 7, 그림 8과 같아 된다. 이 그림에 있어서 $C = 0$ 時의 值은 蓄電器를 使用하지 않음 때

의 값을 나타낸 것이다.

그림 6의 力率特性曲線에 있어서는 一定 2次勵磁電壓 E_c 에 對해서 蓄電器容量이 커질수록 蓄電器電流 I_c 가 커지므로 그림 4의 Vector diagram에서 알 수 있는 바와 같이 力率이相當히 增加되고 그은 蓄電器容量에 對해서는 2次勵磁電壓이 커질수록 2次端子電壓이 커지다가 그에 대비해 차는 2次勵磁電壓이 커질수록 力率이 커지게 된다. 即, 力率特性은 蓄電器容量과 2次勵磁電壓이 커질수록 力率이 커지게 되는 것을 알 수 있다.

그림 7의 出力特性曲線에 있어서는 2次勵磁電壓 E_c 가 커질수록 速度가 떨어지기 때문에 出力은 減少하다 2次勵磁電壓이 一定일 때에는 $E_c = 60(V)$, 또는 $E_c = 90(V)$ 의 境遇 蓄電器容量이 커질수록 出力은 增加해 가나 $E_c = 120(V)$ 의 境遇에는 $C = 130(\mu F)$ 부근에서 出力은 最大로 되고 C 가 1.5 以上 커지면 出力を若干 減少해 가고 있다. 그理由는 2 ~ 2項에서도 說明한 바와 같이 $I_c \leq 2I_2' \sin \phi$ 일 때에는 2次合成電流 I_2 가 I_2' 보다 크지 않으면서도 $I_2 \cos \theta_{2'} > I_2' \cos \theta_{2'}$ 로 되기 때문에 蓄電器를 使用함으로써 出力を 增加시킬 수 있는데 $I_c > 2I_2' \sin \phi$ 일 때에는 2次合成電流 I_2 가 I_2' 보다 커지므로 I_2 가 定格電流로 되도록 出力を 減少시켜 주어야 한다. 그러므로 I_c 가 어느 一定值까지 增加할 때는 出力이 增加되지만 그 以上 I_c 가 커지면 出力を 減少하기 때문이다. 本 實驗에 있어서는 I_c 의 限界值가 1.6(A)로 되고 있다.

다음은 그림 4의 Vector diagram에서 알 수 있는 바와 같이 蓄電器電流 I_c 가 커질수록 1次勵磁電流와 1次負荷電流와의 位相差가 커지므로 그 合成인 1次電流 I_1 은 작아진다. 그러므로 그림 8의 1次銅損特性에 있어서는 蓄電器容量과 2次勵磁電壓이 커질수록 1次銅損은 相

第2表 Scherbius System의 實驗測定值 및 計算值

2次動磁電壓 E_c [V]	蓄電器 $C(\mu F)$	電動機入力 $V_1(V)$	$I_1(A)$	$P_1(W)$	$P_{1,E\%}$	$V_2(V)$	$I_2(A)$	$I_3(A)$	$V_3(V)$	2次電力 $P_2(W)$	電動機出力 $P_0(W)$
60	0	220	8.6	61	1999	178	52.4	5.2	0	71.8	16.0
60	90	220	8.1	66	2037	158	51.9	5.2	0.2	73.0	16.2
60	130	220	7.9	68	2047	150	50.3	5.2	0.4	73.0	16.3
60	170	220	7.8	70	2081	147	50.6	5.2	0.5	73.9	16.4
60	210	220	7.75	71	2097	145	51.0	5.2	0.8	74.1	16.5
90	0	220	8.6	60	1966	178	75.3	5.2	0	62.4	15.8
90	90	220	7.8	68	2021	147	75.0	5.2	0.8	64.2	16.2
90	130	220	7.6	71	2056	139	74.3	5.2	1.1	64.8	16.4
90	170	220	7.5	74	2115	136	73.8	5.2	1.2	65.3	16.4
90	210	220	7.3	75	2086	128	73.4	5.2	1.4	66.0	16.4
120	0	220	8.6	59	1934	178	98.5	5.2	0	53.9	15.1
120	90	220	7.3	72	2003	128	97.9	5.2	1.2	55.0	16.4
120	130	220	7.2	76	2085	125	97.1	5.2	1.6	57.0	16.2
120	170	220	6.9	79	2077	115	96.9	5.2	1.9	56.7	16.2
120	210	220	6.4	81	1975	99	96.5	5.2	2.2	56.9	16.0

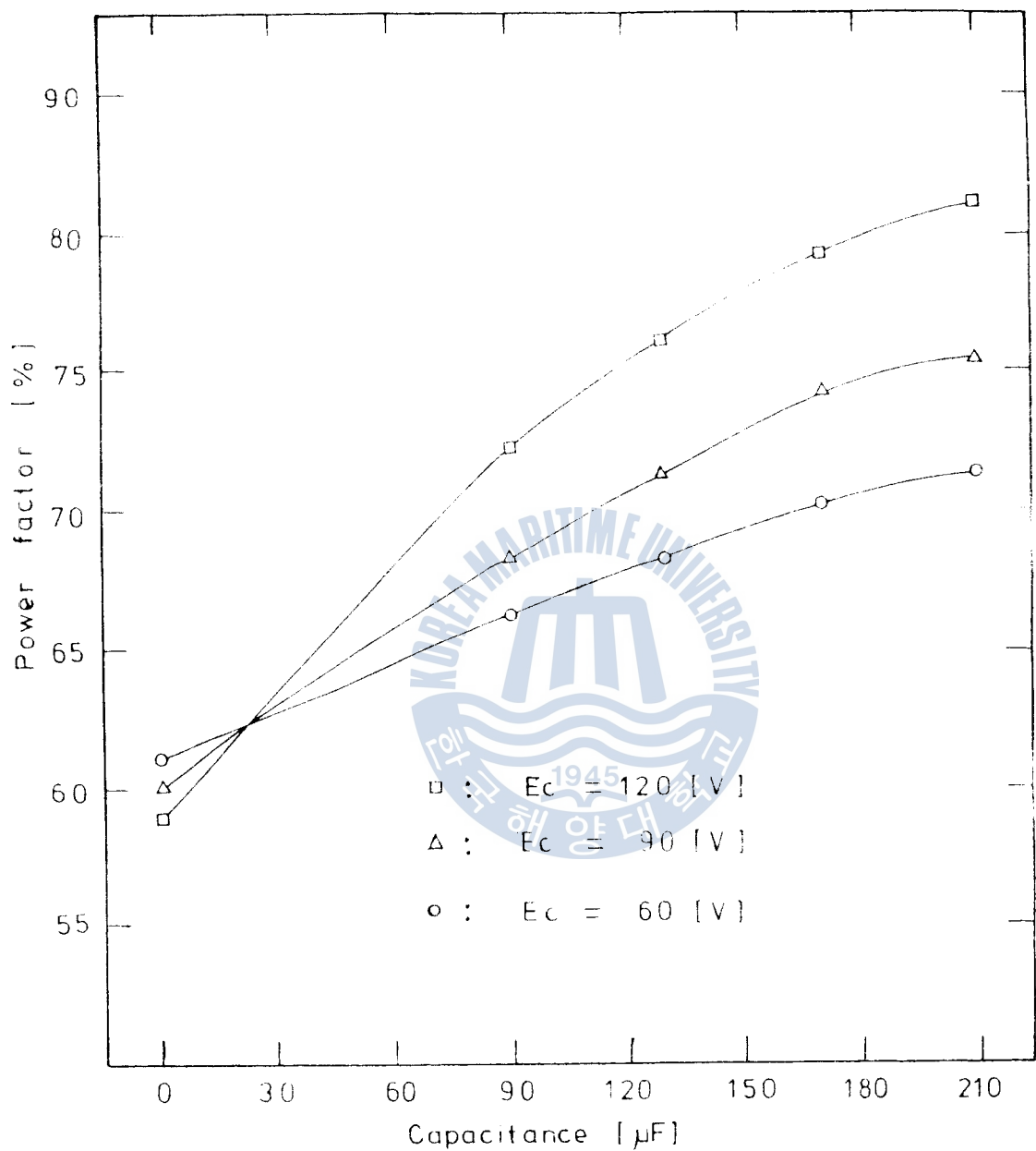


Fig 6 Power factor characteristic curve (1)

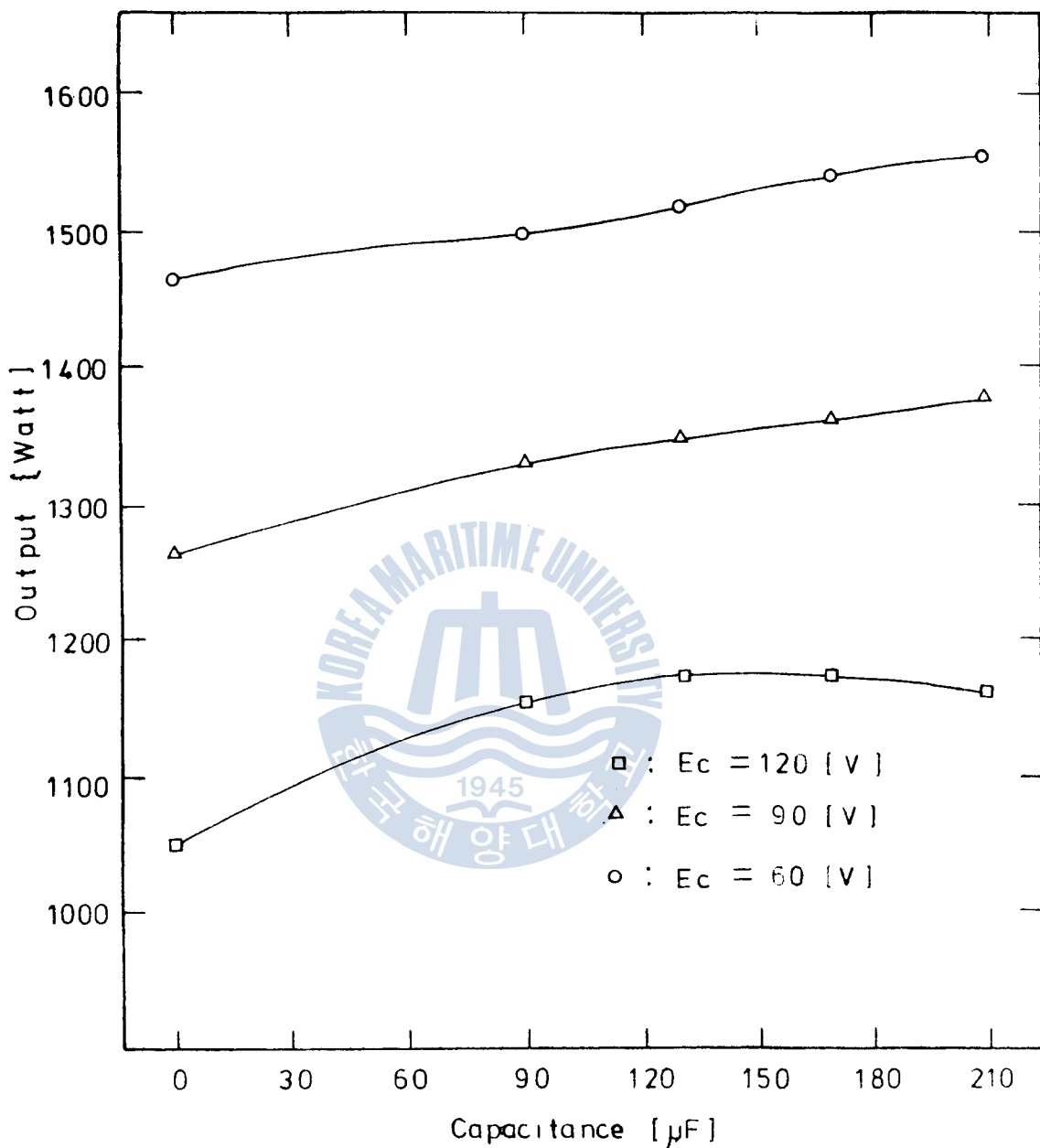


Fig. 7. Output characteristic curve (1)

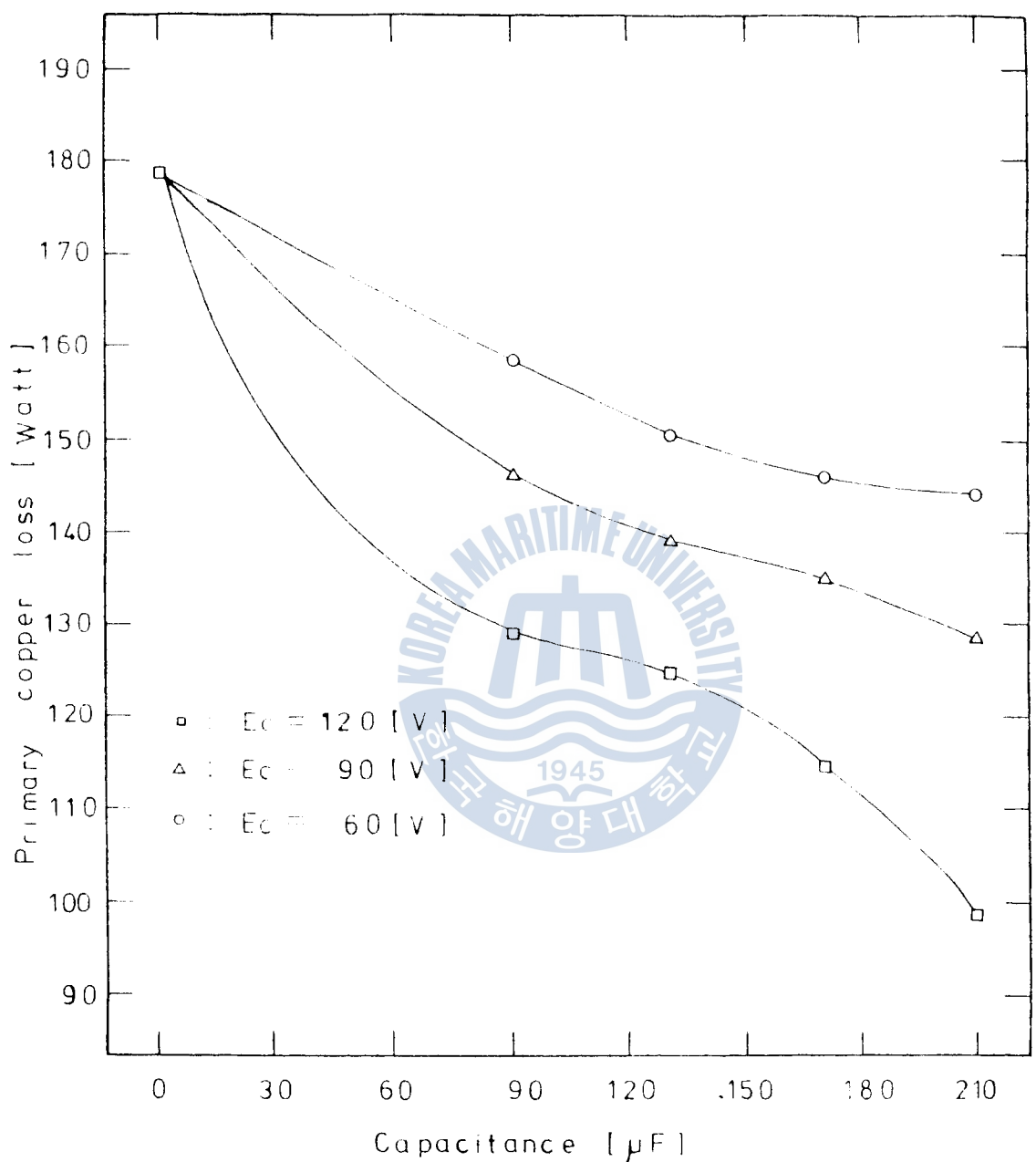


Fig. 8. Primary copper loss characteristic curve (1)

當하 작아진다는 것을 알 수 있다.

다음에는 上記한 諸特性이 蓄電器容量을 파라미터로 할 때 2 次勵磁電壓에 따라서 어떻게 變化하는가를 曲線으로 表示하여 보면 그림 9, 그림 10, 그림 11과 같이 된다.

그림 9의 力率特性曲線에 있어서 $C = 0$ 時 即, 蓄電器를 使用하지 않을 때에는 2 次勵磁電壓이 커질수록 力率이 떨어지는데 蓄電器를 使用할 때에는 2 次勵磁電壓이 커질수록 蓄電器 端子電壓이 높아져서 蓄電器電流 I_c 가 커지기 때문에 力率은 좋아진다. 그리고 蓄電器容量이 커질수록 力率은 좋아진다.

그림 10의 出力特性에 있어서는 蓄電器를 使用할 때나 使用하지 않을 때나 2 次勵磁電壓을 上昇시키면 出力은 直線的으로 減少하는데 蓄電器를 使用할 때의 出力이 蓄電器를 使用하지 않을 때보다 커진다. 이 뒤에 있어서는 $C = 210 [\mu F]$ 時의 曲線과 $C = 130 [\mu F]$ 時의 曲線이 $E_c = 100 [V]$ 부근에서 交叉하고 있는데 이것은 2 次勵磁電壓 E_c 가 大略 100 [V] 以下에 있어서는 蓄電器容量이 커질수록 出力은 커지지만 E_c 가 大略 100 [V] 를 超過하게 되면 蓄電器容量이 130 [μF] 까지는 增加할 수록 出力이 增加하지만 130 μF 를 넘으면 蓄電器容量이 增加할 수록 出力은 減少됨을 나타내는 것이다.

그림 11이 1 次銅損特性에 있어서는 $C = 0$ 即, 蓄電器를 使用하지 않을 때에는 2 次勵磁電壓이 變化해도 1 次銅損은 變化가 없는데 蓄電器를 使用하게 되면 2 次勵磁電壓이 커질수록 또는 蓄電器容量이 커질수록 1 次銅損이 작아진다는 것을 알 수 있다.

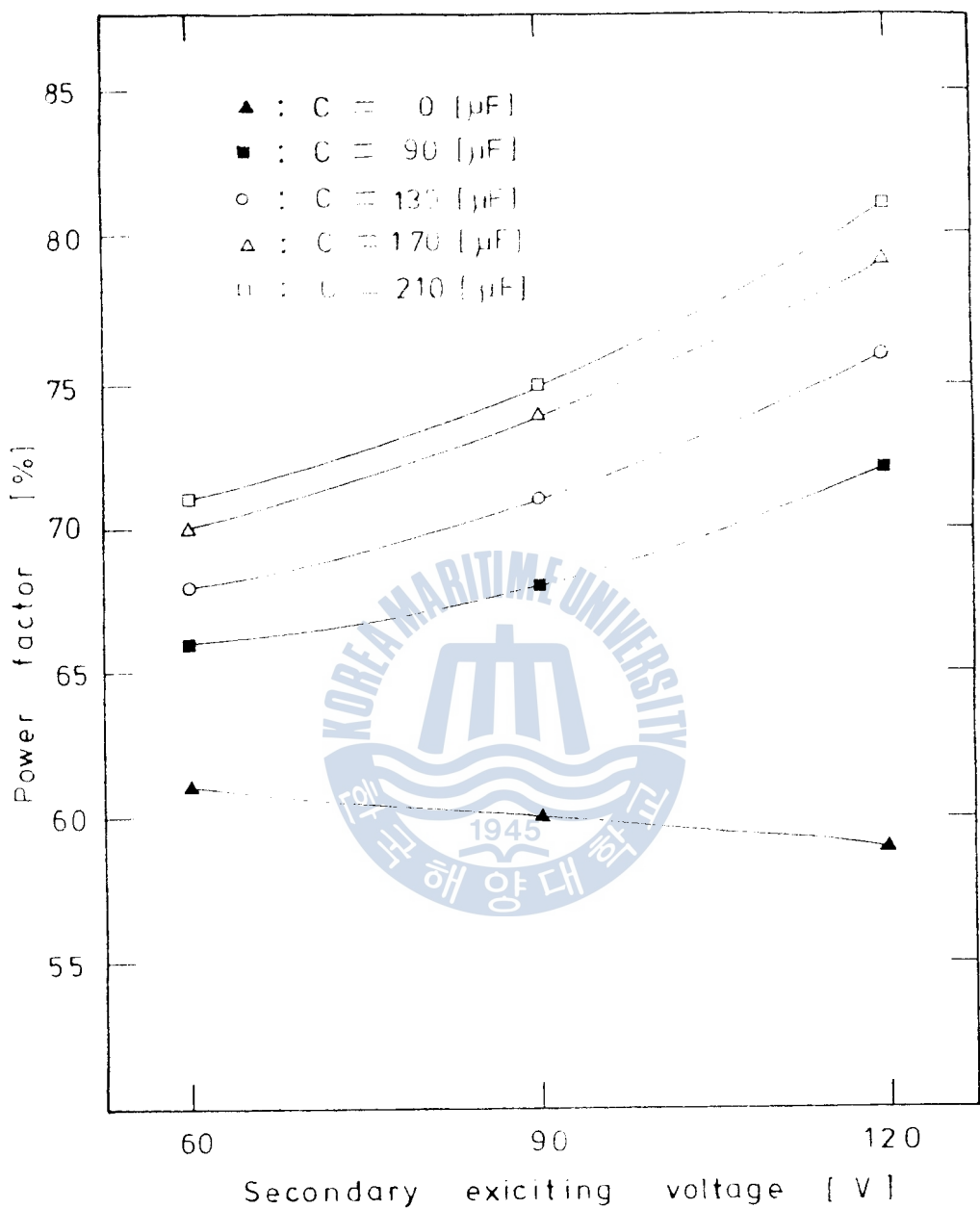


Fig. 9. Power factor characteristic curve (2)

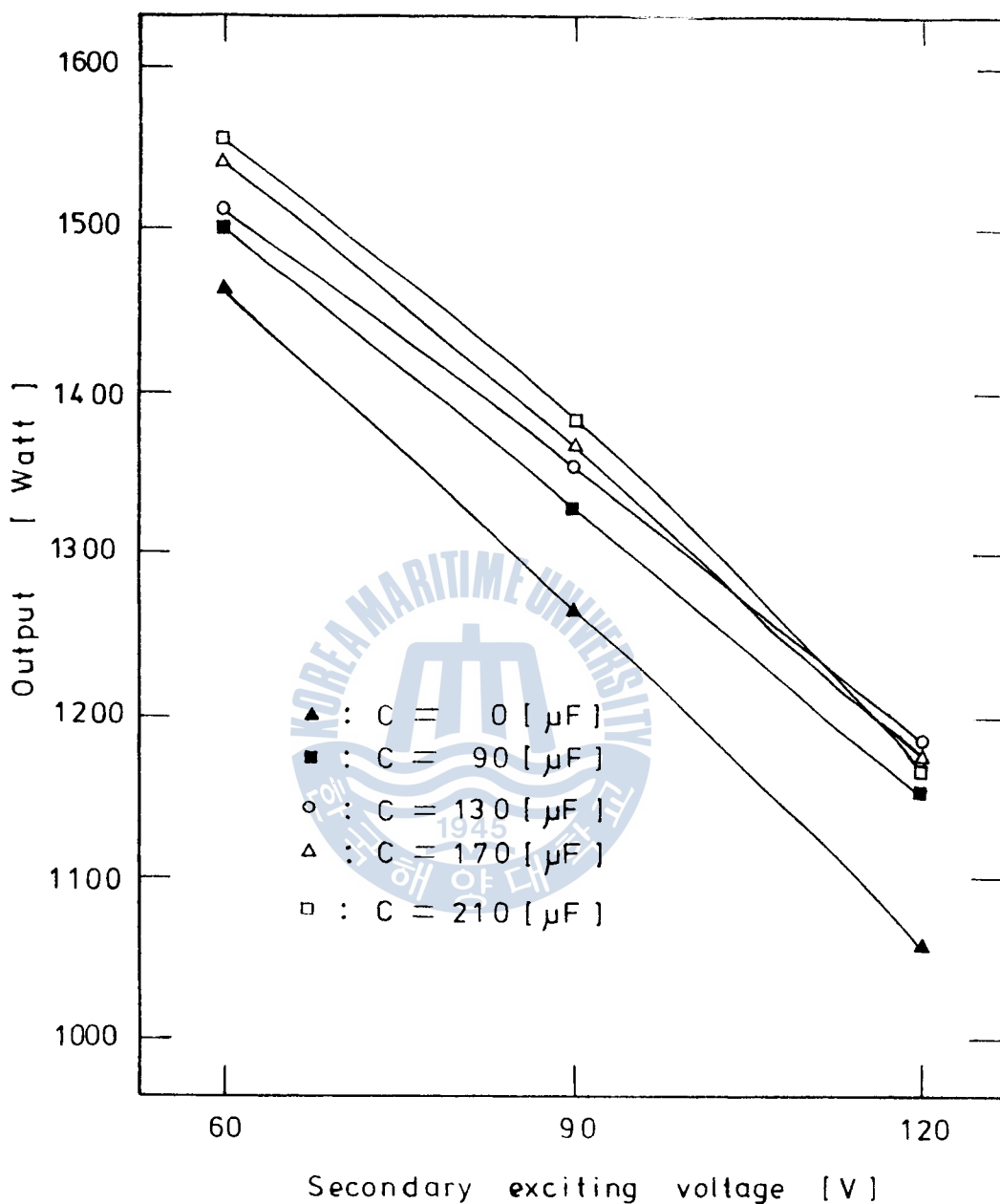


Fig. 10. Output characteristic curve (2)

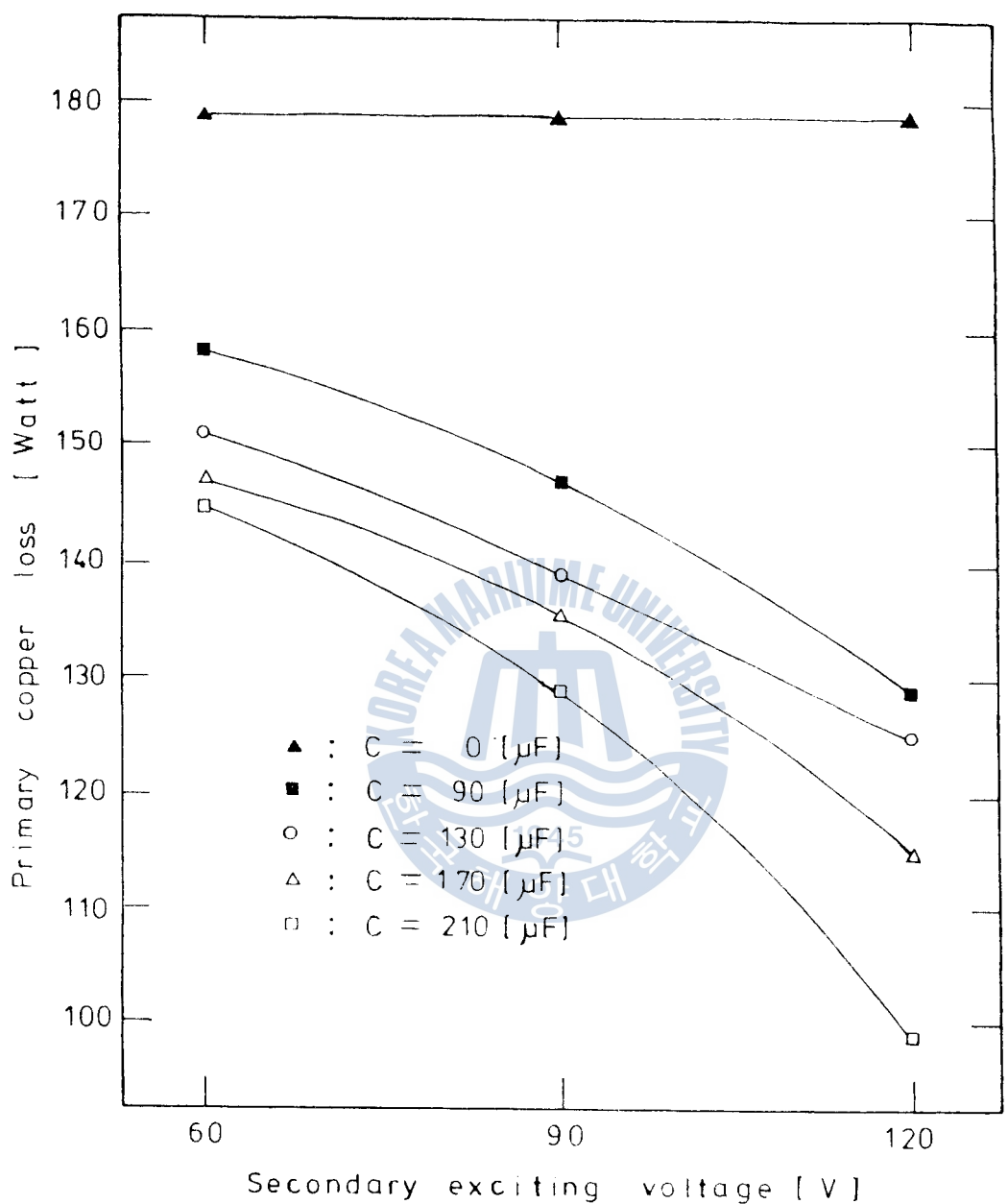


Fig. 11. Primary copper loss characteristic curve (2)

그改善程度는 축전기용량 C와 2次動磁電壓 E_c에 따라서
달라지며 그값은 제3표, 제4표, 제5표와 같다.

第3表 力率改善 狀況 (%)

E _c \ C	0 [μF]	90 [μF]	130 [μF]	170 [μF]	210 [μF]
60[V]	61	68(8.2 %增)	68(11.5 %增)	70(14.8 %增)	71(16.4 %增)
90[V]	60	68(13.3 %增)	71(18.3 %增)	74(23.3 %增)	75(25.0 %增)
120[V]	59	72(22.0 %增)	76(28.8 %增)	79(33.9 %增)	81(37.3 %增)

第4表 電動機出力增加 狀況 (W)

E _c \ C	0 [μF]	90 [μF]	130 [μF]	170 [μF]	210 [μF]
60[V]	1466	1501(2.4 %增)	1508(2.9 %增)	1541(5.1 %增)	1552(5.9 %增)
90[V]	1262	1328(5.2 %增)	1351(7.1 %增)	1359(7.7 %增)	1377(9.1 %增)
120[V]	1063	1157(8.8 %增)	1171(10.7 %增)	1173(10.3 %增)	1164(9.1 %增)

第5表 1次銅損減少 狀況 (W)

E _c \ C	0 [μF]	90 [μF]	130 [μF]	170 [μF]	210 [μF]
60[V]	178	158(11.3 %減)	150(15.7 %減)	147(17.7 %減)	145(18.8 %減)
90[V]	178	147(17.7 %減)	139(21.9 %減)	136(24.0 %減)	128(27.9 %減)
120[V]	178	128(27.9 %減)	125(29.9 %減)	115(35.6 %減)	99(44.6 %減)

5. 結論

整流器를 結合한 셀비우스 시스템에 있어서 誘導電動機의 2次回路에蓄電器를 并列로 連結하여 使用하면 誘導電動機의 諸特性이 다음과 같게改善된다.

- (1) 力率改善 効果는 2次勵磁電壓이 높을수록 크게 나타나고 같은 2次勵磁電壓에 對해서는 蓄電器容量이 클수록 더욱 改善된다.
- (2) 誘導電動機 出力은 蓄電器 容量이 일정한 限界值까지 增加할 때에는 약 10 (%) 까지 增加해가고 그 이상 蓄電器容量이 增加하면 出力은 오히려 減少해간다.
- (3) 1次銅損은 蓄電器容量이 커질수록 1次勵磁電流와 1次負荷電流의 位相差가 더욱 커지서 그 合成인 1次電流가 減少하며 그 減少量이 계율에 비례하여 급격히 減少한다.

上記한 결과는 整流器와 電動發電機가 結合된 셀비우스 시스템을 使用해서 實驗한 結果 얻어진 것인데 整流器와 다이리스터가 結合된 셀비우스 시스템에 있어서도 같은 結果가 나올 것으로 料된다.

參 考 文 獻

- (1) 坪島茂產外 三名：電動機制御と應用，
東京電機大學 出版部，1977
- (2) 朴 晏鎬：誘導機器，東明社，1980，P403
- (3) 電氣學會：誘導機，1960，P110～P111
- (4) 李 成復：誘導電動機의 2次励磁에 依する 速度制御時の 力率改善，韓國海洋大學 船舶工學研究所論文集 第1輯，1982
- (5) Ralph J. Smith:Circuits devices and systems
John Wiley & Sons, Inc. 1973, P126～P127
- (6) Herman R. Weed and Wells L. Davis:Fundamentals of Electron Device and Circuit, Prentice-Hall, INC. 1959
- (7) S.B.Dewan and Astraghen:Power Semiconductor Circuits,
John Wiley & Sons, Inc. 1977, P240～P246
- (8) 李 相高外 三名：電機・電子數學，東明社。
1980, P113～P131
- (9) H. P. スウ 著佐藤八譯：フーリエ 解析，森北出版社。
1980, P58～P59
- (10) 岩入盛太：最新電機器學，螢雪出版社，1971